VIK 551 86

м. А. САТИАН, Ж. О. СТЕПАНЯН

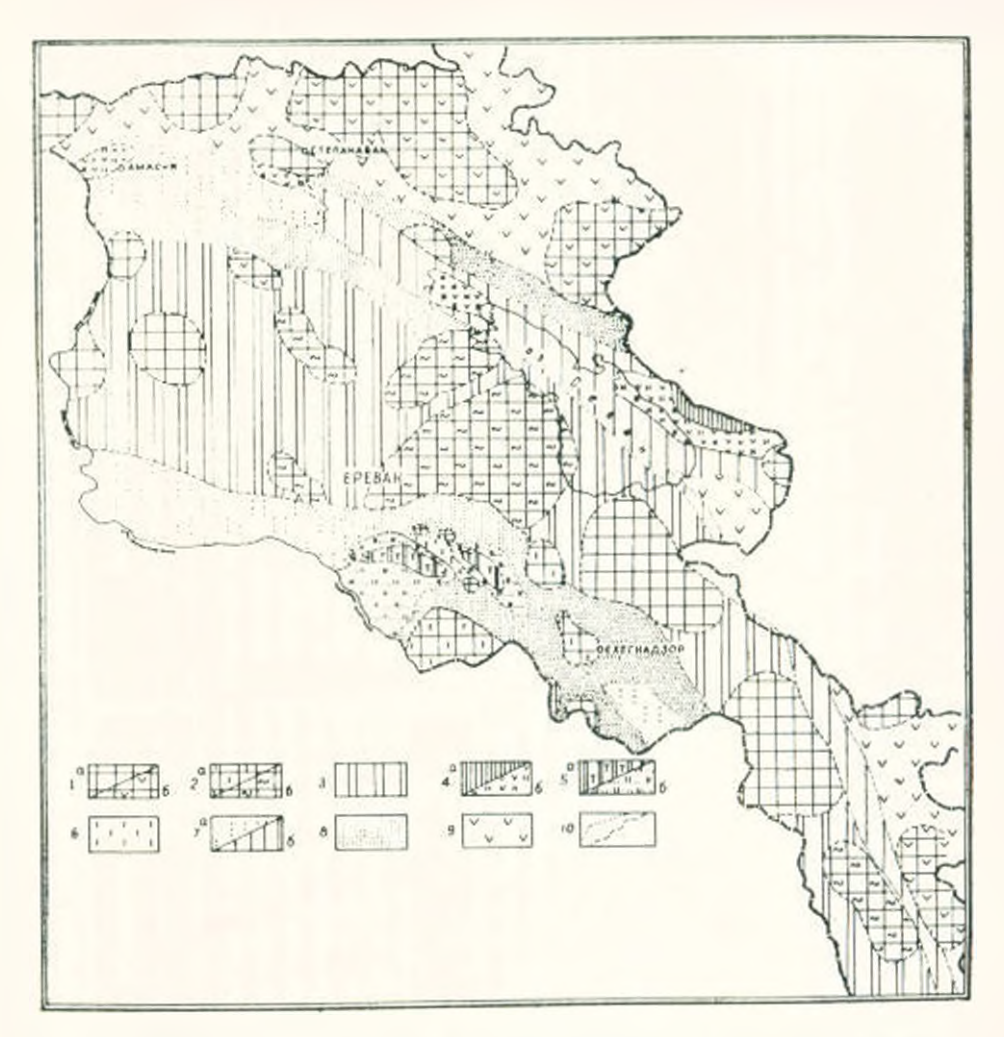
РАДИОЛЯРИТЫ ОФИОЛИТОВЫХ СЕРИЙ АРМЯНСКОЙ ССР И ИХ ПАЛЕОГЕОГРАФИЧЕСКОЕ ЗНАЧЕНИЕ

Положение офиолитов в структуре Малого Кавказа, вопросы возраста и генезиса гипербазитов и габброидов обсуждались неоднократно [1, 4, 11 и др]. Между тем рад поляритам—одному из важных компонентов штейнманновской триады, уделено было крайне незначительное внимание. Первые их находки были связаны со стратиграфическими исследованиями в районе Севанского хребта [13]. С начала 60-х годов последовали открытия радиоляритов в Еревано-Ордубадской зоне, а затем на западе Амасийско-Севанской зоны [14, 15, 16, 17]. Их изучение, в значительной мере, было стимулировано поисками аналогий в разрезах океанической коры и офиолитов контин-итов [6, 7, 12, 18]. В задачу выполненных исследований входило выяснение вещественного состава и строения радиоляритов, характера их ассоциации с вулканитами. Такие исследования ставили и последующую цель-обсудить налеогеографию офиолитовых бассейнов, в которой как бы сфокусирована вся сложность офиолитовой проблематики [12], причем основной смысл такого обсуждения состоит в том, чтобы возможно объективнее раскрыть налеогеографическую картину, используя информативный материал по составу и строению радиоляритов и прочих стратифицированных компонентов офиолитовой серии.

1. Типы радиоляритов и особенности их сонахождения с вулканитами

Следуя классификации И- В. Хворовой [19], радноляриты могут быть подразделены на яшмовые и фтанитондные. Яшмовые радиоляриты, внешнее отличие которых заключается в красной, бурой окраске, а особенности химического состава—в значительном преполадании окисного железа над закисным, слагают главную группу пород кремнисто-вулканогенной формации. Они подразделяются по вещественному составу на разпости: железисто-кремиистую, кремиистую, марганцевистую (железисто-марганцевистую), глинисто-кремиистую и известковистую. Эти сведения так же, как данные о строении, суммированы в таблицах 1 и 2. Рассмотрим вначале характерные ассоциации радиоляритов и вулканитов.

1. Ассоциация радиоляритов и основных эффузивов. Эта ассоциация слагает главный объем кремписто-вулканогенной формации Амасийско-Севанской зоны В Еревано-Ордубадской зоне, наряду с эффузивными породами, в заметном количестве встречаются их пирокластические разности, локально же ассоциация радиоляритов с гуфами и туффитами является преобладающей (рис. 1).



Рас I Схема подднемедовой седиментационно-тектопической зопаданости Арме ин п распространения ассоциании радиоляритов и пулкацитов

1. Подилтия: а) без обозначения пород подосборов, 61 сложенные преимущественчо вудканогенно-осадочными рациеметозойскими образованичими 2 а) Неднятия, сажените преимущественно породами терригенно-карбонатного гериниского комплекса, б) подцятия древнего метаморфического фундамента. З. Анкаван-Заигезурская. конаолзвития из точо в периотовно-карбонатных отложений поздвего меда: деннессно ерели подпитий дрепието метаморфического фундамента 4-8 Офиолизовые доиз-1. Ассоциация радие опритов в эффузивое: а). Мощные занаы в пачки превмущественво железисто- и рединени го-креминстых радиолиритов, спилиты, двабалы, изредка э лизнические бректын. Суямирных мощност. Голее 800, ММ м. Отложения тлубовоподные, б) Малемощиме писы железнего и сличисто-креминстых и известкози стых радволяритов и из брекчий. Освоиные эффуливы, реже даняты и ях туфы, пулкало-терригенные о ложения. Суммарные мощности до лЯО 100 м. Отложения сранцы зельзя глубоканодные и мелководные 5. Ассоциоция радиологичного и тифоис за Моненые начки туфов и тефрондов виде отго базальтового состава, редко аватовая и отве анты, чаше их вулканические бректан, ланым (10—15 м) радполяритов запестковастых в железисто-кремиястых. Суммарные мощивсть оолее 500—1200 🥡 Отложенна сращиния по глубоковозные, б). Вулканические брекчин зазальтового состана аленров амматовые туфы, реже диз із юные перфириты, дваблам, а делаго-да веллоные дар фарины, синанты Маложовиные известковистые располяралы, грубноблюмоч ыс изпестковненые туффаты и биот рыные эточествыми Суммаралье можноств. ВМ--300 -Озложения медконодиме, в. Маасмощине вудовические превоисте динами вудпопестынков и известковые ых рыдволюциив, KOR aloba parion, conотвящие з труоробломовные отложения полимым томого систава. 7. а). Зоны предполазаемыго различия пулкалитов и радиоляритов, че длины состава кои ломенатов назод витинева в опжожени маю. Во данова, извъистанов од об и вълче оданотично дноляритоно-вулкачогочной ассоциации по региональным соноставлениям. 8 Мелко водные террителные отложе на периферии однолитового врогибл 9. Мелководаще вф-Буз нио вулкановали петескую базальновозитаризовые комплексы (без офиолизовоа видиментор упуской окология ванный 101 глина, по с

Тлавные типы радиоляритов офиолитовых поясов Армении и особенности их состава и строения

Типы радиоляритов	Структурно-текстурные особенности	Микроструктурно-текстурные особенности				
1	2	3				
Железисто-кремии- стые	Буровато-красные и «сургучные» кренкие и хрупкие, топко- слоистые (3—10 см), слоистость горизонтальная довольно вы- держанная, но местами с выклиниванием слоев, расщепление слоя на несколько относительно топких слойков, конседимен- тационное их смятие, микросбросы, Отдельные слои имеют на поверхности наслоения знаки ряби наддонных струйных течений. Нередки пятна и полосы—участки депигментации желтовато-серого цвета.	Структура органогенная, органогенно-микрозернистая, передко деформированная, реликтовая («следы» радиолярий), чаще текстура микрослонстая: чередование с креминсто-глинистыми слойками, либо из-за перавномерного распределения радиолярий. Последине слагаются кварцем и халцедоном, полости—обычно окислами железа.				
Марганцевисто- кремпистые	Темно-коричневые, на выветрелой поверхности иссине-черные, крепкие и хрупкие, тонко- и среднеслоистые, менее отчетливо слоистые. Слоистость горизонтальная, местами мелковолинстая передки конседиментационные складки, следы струйных течений, иногда знаки ряби течений. С железисто-креминстыми радиоляритами образуют постепенные переходы через пересланвание тонких красных и черных слойков (0,5—1,5 см). Иногда содержат прослои эксгаляционных красных кремией.	туры те же, что и для железисто-кремнистых разпостей, за исключением реликтовой. Сохранность скелетов радиолярий наплучшая. Текстура однородная и микрослонстая.				
Креминетые	Желтовато-светло-серые, «кремовые», на выветрелой поверхно- сти пятинсто-красноватые, крепкие и сравнительно менее хрупкие. Тонкослонстые (2—4 см), с пропластками алеври- тисто-глипистых разпостей бурого цвета, значительно менее крепких.	Структура органогенно-микрозернистая и топкозернистая, довольно часто—реликтовая. Текстура изредка микрослонстая переслаивание более и менее железистых (пигментированных) слойков.				

1	2	3
Глинисто-кремнистые	Бурые, красновато-коричневые, средней крепости, тонколистоватые, передко слабо алевритистые. Слагают тонкие (2-5 см) проиластки среди железисто-креминстых и особенно часто—креминстых радиоляритов. Нередко это чередование ритмичное.	
Пзнестковые	Розоватые и коричневые, менее крепкие и заметно менее хрупкие, чем креминстые разности. Отчетливо топкослонстые (0,5—1,5 см, местами 3—5 см), поверхность наслоения горизонтальная и мелковолнистая, иногда косослонстая, со следами колседиментационного оползания. Нередко ритмично чередуются с накетами розоватых топкослонстых микрозернисто-фораминиферовых известняков, изредка содержат топкие пропластки (0.05—0.2 см) неаммитового туффита. В известковых прослоях встречаются более несчаные разности фораминиферовых известняков. Есть пропластки с обилием ходев плоедов, отмечаются раковины белеминтов.	розеринстая масса карбонатная (преимущественно кальцитован) неравномерно пигментированная гидроокислами желези.

											Табли	ца 2
	Химический состав радиоляритов Армении											
	1	2	3	4	5	6	7	8	9	10	11	12
SiO ₂ TiO ₂ Al ₂ O ₃ Fe ₂ O ₃ Fe ₂ O MnO CaO MgO Na ₂ O K ₂ O P ₂ O ₅ II.II II. H ₂ O SO ₃	85,76 0,49 0,16 1,30 0,01 6,02 1.37 0,17 0,25 5,23 0,08	0,42 0,57 0,62 1,73 0,14	0,45 7,86 3,32 0,43 0,12 6,51 1,51 1,20 1,45 0,17 7,48	5,57 2,50 0,09 26,53 0,50 1,75 0,15 21,16 0,04	1.60 2.32 0,43 0,71 1,33 1,35 0,60 0,80 1,68 0,16	1,85 2,13 0,43 0,09 0,63 2,35 0,60 1,10 1,52 0,16 0,03	5,78 4,84 0,14 0,71 1,12 1,32 0,60 1,50 2,06 0,48	3,12 2,42 0,71 0,10 0,56 0,53 0,77 0,12	5.05 9,15 0,14 4,85 0,81 0,28 0,40 1,40 2,18 0,31 0,04	1,50 0,05 2,02 0,32	90,70 0,10 2,00 2,00 1,76 0,84 0,40 0,40 0,45 1,00 0,20	0,23 4,78 16,03 0,43 0,42 1,23 1,43 0,01 1,50 0,39 1,02 0,08
Сумма	100,84	100,14	99,97	100,62	100,65	100,70	100,60	100,61	100,77	100,72	99,85	100,80

1. Радиолярит креминстый, с известковой и железистой примесью; ср. теч. р. Кюсузьбасс. р. Веди. 2. Радиолярит креминстый, слабо железистый, там же. 3. Радиолярит глинистый, скв. № 1—Карабахлар. 4. Радиолярит известковый, ср. теч. р. Хосров. 5—6-Радиолярит железисто-креминстый, басс. р. Ахурян. 7. Радиолярит глинистый, там же. 8 Радиолярит железисто-креминстый, Севанский хр., басс. р. Гейсу. 9. Радиолярит железисто-марганцевистый, там же. 10. Радиолярит глинистый, там же. 11. Фтанитонд. басс. р. Сатанахач. 12. Силицит железисто-креминстый, Базумский хребет. № 1—4 Еревано-Ордубадская зона, остальные— Амасийско-Севанская зона.

С точки зрения типизации разрезов примечательным является строение креминсто-вулканогенной формации приводораздельной части Севанского хребта, в верховьях р.р. Сатанахач, Шишкая. Характерной особенностью являются значительные суммарные мощности формации (болеє 800 м, основание не вскрыто) и чередование мощных (от 20 до 50-80 м) пачек радиоляритов, разделенных потоками основных эффузивных пород (рис. 2). Радиоляриты имеют ритмичное строение. Различаются несколько типов ритмичности: 1) микроритмичность--чередование микрослойков; 2) мелкая ритмичность--чередование разных по составу слоев; 3) мезоритмичность-чередование начек, накетов: таково чередование накетов известковистых, существенно глинистых, далее вверх по разрезу-железистых и, наконец, в кровле марганцевистых радиоляритев; 4) особый тип ригмичности представляет чередование радиоляритовых и вулканогенных горизонтов (рис. 2). О причинах ритмического строения радиоляритов будет сказано далес. Вулканиты обычно представлены опилитами, реже диабазами, вариолитами. Эффузивы с шаровой отдельностью особенно характерны для средней секции разреза формации. Кроме того, отмечаются лавокласты этих же пород и местами горизонты вулканаческих брекчий. Для сопоставления здесь же отметим, что в Еревано-Ордубадской зоне максимальные по мощности разрезы формации имеют целый ряд отличительных признаков: доминирование известковистых радиоляритов, отсутствие марганцевистых разностей, в целом сравнительно меньшие суммарные мощности пачек радиоляритов, не более 15—20 м, наличие среди вулканитов щелочных базальтондов, широкое развитие туфов и ряд других менее значительных признаков, чем этот тип разрезов обособляется от мощных разрезов Севанской зоны. Вместе с тем общие для приведенных разрезов особенности строения—максимальные мощности радиоляритов—пастолько примечательны, что их противопоставление сокращенным разрезам очевидно при изучении офиолитов по всей площади их развития.

Разрезы умеренных (100—300 м, <500 м) мощностей формации представлены ассоциацией маломощных начек радиоляритов с вулканитами. По направлению к зонам резко сокращенных мощностей радиоляриты сменяются известияками биогермными, либо мелкозериистыми, несчанистыми, либо кристаллическими без реликтов органогенной структуры [14, 15].

В зонах умеренных мощностей маломощные (до 3—5, реже до 15 м) начки кремнисто-железистых, глинистых и нередко известковистых радиоляритов (а иногда и марганцевистых разностей) обычно ассоцияруют с днабазами, днабазовыми порфиритами, чаще миндалекаменными, реже спилитовыми порфиритами и спилитами, их лавокластами; наблюдаются также линзы вулканической брекчии, вулканотерригенных песчаников, биоморфных перекристаллизованных известняков; кроме того известковым материалом часто оказываются выполненными промежутки между отдельностью лав. Радиоляриты этой ассоциации нередко имеют брекчиевую (седиментационную) текстуру (обломочные силициты) В пределах Амасийско-Севанского пояса такая ассоциация пород встречена в басс. рр. Ахурян и Черная, в иззовьях р.р. Саринар, Гейсу, Шишкая, Кясаман.

2. Ассоциация известковистых радиоляритов, микрозериистых и микрозериисто-фораминиферовых известняков, основных и кислых эффузивов нередко слагает кровлю умеренных по мощности разрезов. Такие разрезы формации были выделены и для басс, р. Хосров, не менее типичным представителем являются разрезы толщи вулканитоз и радиоляритов в районе с. Шпшкая и в 1 км севернее с. Гейсу, на Ссаднском хребте В последнем пункте на неровную поверхность альбитизарованных дацигов, содержащих лиизы грубообломочных туфов, налегает лицза известковых радноляритов мощностью до 7 м и протяженностью до 50 м. Западнее еще на 100-150 м этот горизонт выражен маломощными растасканными лавами линзочками радиоляритов. Во внутрением строении известковых радиоляритов замечается простое ритмическое сочетание известковых радиоляритов с известняками; мощность каждой из ритмопачек не превышает 30-40 см. Отмечаются переходные разности между радиоляритами и фораминиферовыми известняками. Известковые радиоляриты и известняки довольно легко узнаются в обнаженнях по белее розоватому цвету, меньшей, чем креминстые радиоляриты, крепости, по шероховатой поверхности выветри-

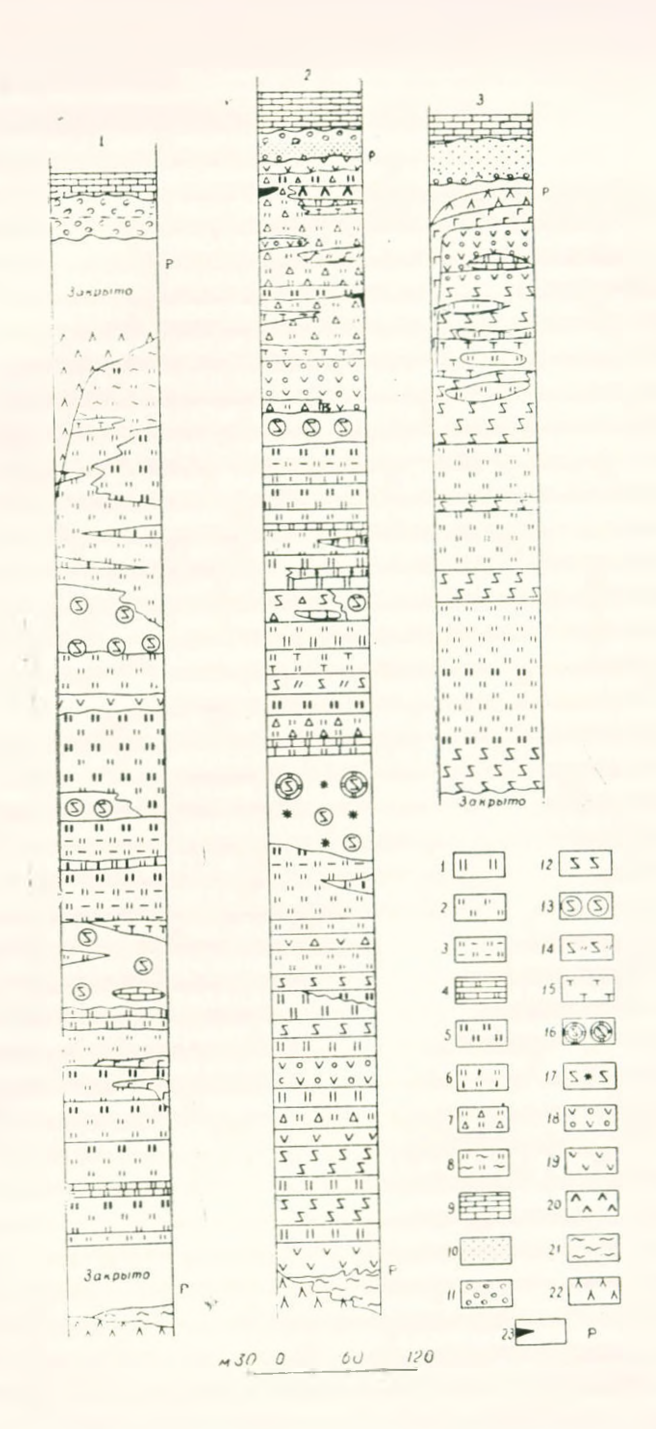


Рис. 2. Типы разрезов зоны максимальных мощностей кремнисто-вулканогенной формации.

1. Радиоляриты (и апорадиоляриты) массивные, трещиноватые железисто-кремнистые. 2. Радиоляриты тонкослоистые кремнисто-железистые и микрозернистые силициты (апорадиоляриты). 3. Радноляриты и микрозернистые силициты глинистые. 4. Радиоляриты известковистые и микрозернистые известняки с радиоляриями 5. Железисто-марганцевистые радиоляриты и микрозерпистые силициты. 6. Фтаниты и фтанитонды. 7. Радиоляриты и микрозернистые силициты брекчиевой структуры (преимущественно конседиментационные брекчии, отчасти обломочные породы). 8. Рассланцованные радиоляриты и прочие силициты. 9. Известняки фораминиферово-микрозериистые и микро-криптозернистые (сантон-верхинй сенон). 10. Офиолитокластические псаммитовые накопления. 11. Офиолитокластические конгломераты и конгломерато-брекчии. 12. Диабазы, спилиты и спилитовые порфириты, 13. Шаровые спилиты. 14. Спи литы. 15. Туфы дацитов. 16. Шаровые спилиты с радиоляритовыми рубашками и выполнением промежутков между шарами. 17. Спилиты и вариолиты. 18. Диабазовые порфириты и спилиты с миндалекаменной структурой. 19. Порфириты альбитизированные базальтового состава. 20. Дациты. 21. Метаморфические сланцы. 22. Серпентинизированные перидотиты и серпентиниты. 23. Марганцевые окисные руды. 24. Р-разломы.

Места разрезов: 1) басс. р. Сатанахач, 2) басс. р. Саринар, 3) басс. р. Шишкая. Севанский хребет.

вания. Проведенные исследования показывают размещение таких парагенезов пород преимущественно в кровле кремнисто-вулканогенной формации, либо на ее периферии.

3. Ассоциация радиоляритов и туфов. В Еревано-Ордубадской зоне (р. Хосров) широко развита ассоциация известковых радиоляритов и микрозериистых известияков с вулканическими брекчиями. Вулканические брекчии состоят из шлаков базальтондов. В известняковой матрице цемента нередки остатки микрофауны -фораминифер и радиолярий. Более значительны по мощности разнообразные по гранулометрии туфы от грубо-псаммитовых до нелитовых, встреченные в разрезах скважин, в междуречье Веди и Азат (Карабахлар-1, Чатма-1). Состав их андезито-базальтовый, преимущественно витрокластический, пачки радиоляритов среди них высококремнистые и известковистые. Мощность пирокластических и вулканогенно-осадочных горизонтов достигает 30-50 м, тогда как мощность радноляритов не превышает первые несколько метров. Суммарная мощность формации превышает 1260 лг [14]. Важной особенностью этого парагенеза является его локализация в пределах одной из депрессий в эшелонированной их системе (рис 1). Следует подчеркнуть, что в обонх офиолитовых поясах во внутрением строении пачек и линз радиоляритов исредко обнаруживаются пропластки, микрослон глинисто-железистых пород пелитовомикрозеристой структуры. Вероятность их отнесения к «стерильным» осадочным образованиям сомнительна. В них под микроскопом различаются угловатые частицы витрокластики; своеобразен и химизм этих пород: низкая кремнистость и высокое содержание адюминия и калия. Переходы к радиоляритам резкие; пелитовые кремнистые туффиты иногда не содержат микрофауны. Рентгенографическое изучение показывает низкое количество в породе кварца (20-30%) и дает основание предположить наличие рентгено-аморфного компонента-продуктов девитрификации.

Радиоляриты фтанитондного ряда имеют резко полчиненное значение в разрезах кремнисто-вулканогенной формации. Для них характерна темно-зеленая до черной, иногда светло-зеленая окраска, обусловленияя повышенным содержанием закисного железа и Сорг. Породы эти слагают маломощные (от 0,05—0,01 до 0,5 м, реже до 1,5—2 м) линзы и пропластки среди красных, яшмовых радиоляритов в верховье рр. Сатанахач и Саринар, по левобережью среднего течения р. Кюсуз. Наиболее значительные по мощности пачки фтанитоидов размещены в зоне максимальных мощностей формации.

2. К палеогеографии офиолитовых бассейнов

Наблюдения показывают, что радиоляриты слагают линзы; более выдержанные пачки среди вулканитов имеются лишь в средней секции разрезов зон максимальных мощностей формации Севанского хребта. Определенную ясность в генезис этой примечательной и устойчивой

ассоциации вносит изучение контактов радисляритов и вулканитов. Среди них можно выделить, по крайней мере, три тина: а) без нарушения поверхности наслоения радиоляритов б) со слабыми признаками нарушения, сопровождаємыми брекчиевидной текстурой в приконтактовых слоях радиоляритов, иногда лавокластической—в эффузивах, н, наконец, в) с очевидными признаками масштабных деструкций слоев радиоляритов. Крайним выражением этого характерного процесса язляются примеры растаскивания давовым потоком фрагментов радиоляритов. Много споров вызывает причина отсутствия в строении кремнисто-вулканогенией формации выдержанных лавовых потоков. ствительно, исконаемые прерывистые давовые потоки, их развалы и растаскивания наблюдаются, прежде всего, в зонах сокращенных и умеренных мощностей. В зонах же максимальных мощностей (исключая приразломные участки) горизонты шаровых дав имеют корреляпионное значение и выдержаны на расстояние, по крайней мере, в несколько сот метров. В зонах сокращенных мощностей также наблюдавотся характерные для потоков текстурные изменения по их мощности, выраженные в зональности распределения миндалин, появлении шлаковой корки в кровле и ряде других признаков.

Вывод один: вулканиты и радиоляриты—образования, которые следует относить к парагенетическому типу сообщества. Проблема источника повышенного фона кремнезема в водах вулканических областей обсуждена достаточно полно [19], и можно лишь присоединиться к выводам о связи (опосредствованной, в той или иной степени реализуемой биогенным путем) между накоплением радиоляритов и вулканизмом.

Потоки лав, несомненно, являются причиной конседиментационной деструкции радиоляриевых осадков: лавы как бы вопыхивают и при малой мощности осадка разрывают его на отдельные линзы, блоки. Расчлененный вулканический рельеф-ложе радиоляритов-также несомненно сказался на распределении изначальных мощностей. Вариации в радноляритовых отложениях содержаний железа, марганца и карбоната кальция говорят о том, что в зонах седиментации существовали, с одной стороны, поля преобладания карбонатной садки (известковистые радиоляриты), с другой же- поля подавленного карбонатонапо дення Однако вряд ли будет убедительно зоны ограниченного карбона полакования связывать с критической глубиной осаждения карбонатов. Скорее карбонатонакопление подавлялось с усилением выноса СО2 в связи с газо-гидротермальной деятельностью подводных вулканов. Тенденция повышения содержания железа и марганца к кровле ритмоначки радиоляритов также может быть объяснена результатом усиления эксгаляций и гидротермального истока. Нередки примеры, когда вверх по разрезу марганцевистые радиоляриты сменяются новым горизонтом эффузивов, т. е. эксгаляции нарастают и сменяются лавовым излиянием. В других же случаях имеет место мы спад, тогда выше ритмоначки марганцевистых радиоляритов мы

можем наблюдать новый ритм накопления, начинающийся с известковых, либо глинистых радиоляритов.

Исследования показывают, что состав и строение радиоляритов и их ассоциации с вулканитами обнаруживают определенные изменения не только вкрест простирания офнолитов в их современном положении в разрезе коры. Заметные вариации этих параметров так жекак и суммарных мощностей формации, реально могут наблюдаться и по простиранию офнолитового пояса (рис. 1) [15, 16]. Не менее въжно изменение состава радиоляритов и ассоциирующих с ними пород по вертикальной последовательности наслоения формации. Особо нужно подчеркнуть размещение кислых вулканитов и ассоциирующих с ними известковистых радиоляритов так же, как линэ биогермных известняков, в верхней секции разреза формации. Этот признак является коррелятивным для реконструкций строения формации в зонах наибольшей тектонической нарушенности.

В Амасийско-Севанском поясе первичная фациальная зональность осложнена дислокациями, выраженными в чещуйчато-надвиговом строении всего мезозойско-палеогенового комплекса. Эти, дислокации выражены гораздо слабее в Еревано-Ордубадской зоне.

В оценке тектонического строения офиолитовых зои мы разделяем точку зрения о постсреднеэоценовой главной фазе надвигообразования и об отсутствии в строении офиолитов покровов [1, 3, 11]. Сейсмическое профилирование последних лет [5] достаточно убедительно вскрыло пространственную совмещенность офиолитовых поясов с зонами глубинных разломов близвертикального заложения. Как видим, имеются реальные предпосылки для палеогеографической реконструкции офиолитовых бассейнов.

Вкратце остановимся на проблеме возраста кремнисто-вулканогенной формации. Предположения о верхнегорском-раниемеловом возрасте радиоляритов восходят к предварительным определениям радиолярий, выполненным в началє 50-х годов [13]. Не останавливаясь на истории этого вопроса, который неоднократно обсуждался в литературе [6, 10, 15], отметим следующие новые результаты: а) обнаружение глоботрункановых известняков, слагающих прослои среди известковистых радиоляритов в І км севернее с. Гейсу [15]; б) обнаружение верхнемелового (видового) комплекса радиолярий в известковистых радиоляритах того же участка (результаты эти по нашим сборам получены Л. И. Казинцовой, ВСЕГЕИ); в) определение верхнемелового комплекса радиолярий (определение до рода) в разрезах верховья р. Сатанахач (определение Л. И. Казинцовой); г) данные радиологии о верхнемеловом возрасте калиевых спилитов Еревано-Ордубадской зоны [16]. Отметим, что нередки также случан определения в одних и тех же образцах «смешанного» родового комплекса радиолярий и предположительно позднеюрских-раннемеловых и позднемеловых (район г. Амасин и др.). Пока, как видно, нет новых подтверждений по региону Севанского хребта верхнеюрского-неокомского воз-

TOTAL TAPANICACIO							
Тины пород и особенности строения	Амасийско- Севанский пояс	Еревано-Ордубад- ский нояс					
А. Осадочные и вулканогенно-осадочные породы							
Линзы радиоляритов		-1 -1					
Мощные пачки радиоляритов							
Железисто-креминстые радполяриты	1-4-4-4	- + +					
Марганцевистые радиоляриты							
Известковистые и известковые радиоляриты		+ + + + +					
Вудкано-терригенные накопления							
Пелитовые туффиты креминстые	1-+	++					
Эксгаляционные кремии	1 -						
Брекчированные с кварцевым цемен-							
том (гидротермально-экспаляционным кварцем)							
Брекчии серпентинитов осадочные Известняки:	+ + +	+ (5)					
Микрозеринстые и фораминиферовые	++						
Кристаллические с реликтами макрофауны		+++					
Оолитовые и опкоидные	12.00	1-					
Доломитовые		<u> </u>					
Марганцевые руды среди радиоляритов							
Офикальциты, офидоломиты	+++	+					
Б. Вулканические породы							
Ппабазы							
Спилиты	4-4-4	+					
Порфириты базальтондов							
Дациты	4-	1					
Вулканические брекчии	-11	4					
Псаммитовые туфы андезито-базальтов	+ (3)	++++					
В. Интрузивные (и протрузивные) породы							
Тешениты	+ (3)	1					
Габбро-эссекситы	1 - \(\cdot\)	-					
Γαδόρο	+++	+++					
Таббро полосчатые	+++						
Гипербазиты (гарцбургиты и др.)	+-++-						
Серпентинны	++++	+-+-+					

Примечание: +++++ очень много, ++++ много, +++- есть, ++- мало, =- очень мало, -- нет, не обнаружены.

раста радноляритов. Напротив новые определения раднолярий позволяют уверенно говорить о наличии верхнемеловых отложений в разрезах офиолитов Севанского хребта, что подкреплено также находками тлоботрункан. В зонах максимальных мощностей Амасийско-Севанского и Еревано-Ордубадского поясов вопрос возраста наиболее нижней секции разреза все же остается открытым и, если исходить из длительности радполяриевой седиментации и значительных мошностей всей формации, то предположение о наличии в разрезе более древних слоев, чем верхнемеловые, может быть и не безосновательным. Косвенные доказательства были уже получены по радиологическим данным [16]. Можно предложить несколько решений. Одно из них то, что офиолитовые прогибы развивались сложно и неодновременно: зоны терригенного шельфа и периферии вулканического трога несколько позже остали седиментационными структурами, нежели центральный трог.

Выпеприведенные данные о строении разрезов креминсто-вулканогенной формации, ее возрасте, о характерных нарагенезах пород (табл. 3), подкрепляемые результатами глубинного сейсмического профилирования, говорят в пользу аутохтонности стратифицированных компонентов офиолитовой ассоциации по отношению к вмещающим их структурноформационным зонам.

Количественная оценка морфологын этих узких троговых басселнов-ширина, батиметрия-может быть лишь весьма приближен эй [15, 16]. Очевидны гораздо большые масштабы кремненакопления в Амасийско-Севанском троге. Можно полагать, что здесь имелись больние глубины, чем в Еревано-Ордубадском бассейне, но эго, конечно, глубины меньшие, чем те, что известны для радиоляриевых илов современных океанов. Сосредоточение максимальных мощностей осадков в центральной части этих депрессий-другая примечательная особенность их седиментогенеза. Смена вверх по разрезу сравнительно глубоководных осадков мелководными вряд ли может быть объясиена без привлечения механизма избыточной компенсации. Вместе с тем, эти процессы протекали на фоне общего сжатия офиолитовых прогибов и формирования внутренних поднятий и прогибов: горстов и грабенов. Вовлечение же новообразованных офиолитовых подпятий в размыв дало начало накоплению специфических офиолитокластических терригенных толщ-маркирующих горизонтов позднего коньяка [15, 16].

Институт геологических наук АН Армянской ССР

Поступила 15.V.1975.

Մ. Ա. ՍԱԹՅԱՆ, Ժ. Հ. ՍՏԵՓԱՆՅԱՆ

ՀԱՅԿԱԿԱՆ ՍՍՀ ՕՖԻՈԼԻՏԱՅԻՆ ՍԵՐԻԱՆԵՐԻ ՌԱԳԻՈԼԱՐԻՏՆԵՐԸ ԵՎ ՆՐԱՆՑ ՊԱԼԵՈԱՇԽԱՐՀԱԳՐԱԿԱՆ ՆՇԱՆԱԿՈՒԹՅՈՒՆԸ

Udhahaed

Հայկական ՍՍՀ Ամասիա-Սևանի, Երևան-Օրդուբաղի օֆիոլիտային գոտիների կառուցվածքում կարևոր բաղադրամաս են կազմում ռադիոլարիտները։ Հայտնաբերված են երկան-կայծքարային և կրաքարային տարատեսակներ։ Ուսումնասիրունյունները ցույց են տվել, որ ռադիոլարիտներն ամենուրեք շերտափոխվում են հրաբիւածին ապարների՝ դիաբազների, սպիլիաների, վարիոլիտների և նրանց հրաբեկորային տարտաեսակների, երբեմն էլ հանդես են դալիս դացիտների հետ և պարագենետիկորեն հարում են վերջիններիս։ Այդ ասոցիացիաները յուրահատուկ են օֆիոլիտային գոտիներից յուրաքանչյուրի համար և փոխվում են երկայնակի ու լայնակի ուղղություններով։

Ռադիոլարների ուսումնասիրումը և Հրաբխածին ապարների բացարձակ Հասակի տվյալները, ինչպես նաև գլոբոտրունկան պարունակող կրաքարերի շերտերի հայտնաբերումը ռադիոլարիտներում, վկայում են այն մասին, որ սադիոլարիտները և Հրաբիւածին ապարներն ունեն վերին կավեի Յասակ։

Կատարված ուսումնասիրությունների հիման վրա քննարկվում են օֆիուլիաների պալնոաշխարհագրական և մորֆոլոգիական հարցերը, նրանց տարածման շրջանները դիտվում են իբրև նեղ, երկայնաձիզ իջվածքներ, որոնք բաժանված են հնագույն մետամորֆային հիմքի ապարներից կազմված բարձրացումներով,

ЛИТЕРАТУРА

- 4. Асланян Л. Т. Регнопальная геология Армении. Ереван, 1958.
- Вишневская В. С. О радиоляритах северо-западной части Севано-Акеринской зоны (Малый Қавказ). Вестияк МГУ, сер. геол. № 1, 1975.
- 3 Габриелян А. А. Палеоген и неоген Армении. Изд-во АН Арм. ССР, 1964.
- Гинзберг А. С. Геолого-петрографическое оппсание восточной части Севанского бассейна. В ки.: «Бассейн оз. Севан», т. 111. вып. 2, Л., 1933.
- Егоркина Г. В., Соколова И. А., Егорова Л. Ж. п др. Строение земной коры северозападной части Армении. «Сов. геология», № 6, 1973.
- 6. Книппер А. Л. Океаническая кора в структуре Альпийской складчатой области юга Европы, западной части Азин и Құбы. «Паука», М., 1975.
- 7. Книппер А. Л., Соколов С. Д. Предверхнесенонские тектонические нокровы Малого Кавказа. «Геотектоннка», № 1, 1974.
- 8. Ломизе М. Г. Вединский офиолитовый шов (Малый Кавказ). Бюлл. МОИП, отд. геол., т. 45, № 6, 1970.
- "9. Нисанян Г. Б. Қарбонатно-терригенная формация (верхний девон-шижний карбол). В кн.: «Литология», «Геология Арм. ССР», т. V, изд-во АП Арм. ССР, Ереван, 1971.
- 10. Паланджян С. А. О положения офиолитов Присеванского пояса Малого Қавказа. ДАН СССР, т. 218, № 6, 1974.
- 11. *Пиффенгольц К. Н.* Бассейн оз. Гокча (Севан). Геологический очерк. Тр. Всесоюзи геол. разв. объед., вып. 219, 1934.
- Пейве А. В. Океаническая кора геологического прошлого. «Геотектоника», № 4. 1969.
- .13. Ренгартен В. П. Стратиграфия меловых отложений Малого Кавказа, В кн : «Региональная стратиграфия СССР», т. 6, М., 1959.
- Сатиан М. А., Степинян Ж. О., Чолахян Л. С. Новые данные о верхнемеловой вулканогенно-осадочной толще юго-западной части Малого Кавказа. Бюдд. МОПП, отд. геод., т. Х. № 3, 1968.
- 15. Сатиан М. А. Альб-верхинй мел-палеоцен. В кил: «Литология», «Геология Арм. ССР», т. V. Игд-во АН Арм. ССР, 1974.
- Сатиан М. А. Строение Еревано-Ордубадской офнолитовой зоны (Малый Кавказ) Бюлл. МОИП, № 2, 1975.
- 17. Соколов С. Д. Тектонический меданж Амасийского района (Мадый Кавказ). «Геотектоника», № 1, 1974.
- Хаин В Е. Основные этапы тектопо-магматического развития Кавказа: Опыт геодинамической интерпретации. «Геотектопика», № 1, 1975.
- Хворова И. В. Кремненакопление в геосинклинальных бассейнах прошлого В ки: «Осадкообразование и полезные ископаемые вулканических областей прошлого» Гр ГИН АН СССР, вып. 195, 1968.
- 20. Шихалибейли Э. Ш. Геологическое строение восточной части Малого Кавказа, г. 1,2. Изд-во АН Азерб. ССР, 1964, 1966.